

01;05

Упругий поперечный удар по круглой ортотропной пластинке

© А.А. Локтев

Воронежский государственный архитектурно-строительный университет
E-mail: prtlokt@yandex.ru

Поступило в Редакцию 23 марта 2005 г.

Моделируется процесс ударного взаимодействия твердого тела и упругой ортотропной пластинки, обладающей цилиндрической анизотропией, посредством упругого буфера. Динамическое поведение пластинки описывается волновыми уравнениями типа Уфлянда–Миндлина, учитывающими инерцию вращения и деформацию поперечного сдвига. В качестве метода решения применяются лучевой метод и метод сращивания асимптотических разложений, полученных для малых времен в зоне контакта и вне ее. Исследуется влияние анизотропии материала пластинки на динамическую контактную силу и прогиб, возникающие в месте ударного взаимодействия.

1. Введение. Используется волновая теория удара, создание которой стало возможным благодаря появлению волновых уравнений типа Уфлянда–Миндлина, описывающих динамическое поведение пластинки с учетом инерции вращения поперечных сечений и деформаций поперечного сдвига [1,2], а также подход, основанный на зарождении в момент удара в пластинке нестационарной волны поперечного сдвига [3], которая затем распространяется с конечной скоростью вдоль пластинки. С помощью этого подхода в работе [4] выполнен динамический расчет упругой изотропной пластинки Уфлянда–Миндлина, испытывающей поперечное воздействие твердого тела посредством нелинейно-упругого буфера, используя лучевой метод. В представляемой работе процедура, предложенная в [4], обобщена к случаю ударного взаимодействия твердого тела с линейно упругим буфером и упругой ортотропной пластинкой.

2. Постановка задачи и определяющие соотношения. Твердое тело массой m подлетает к свободному концу пружины со скоростью V_0 , другой конец которой жестко заделан в пластинке. При этом предполагается, что тело движется вдоль оси пружины, которая

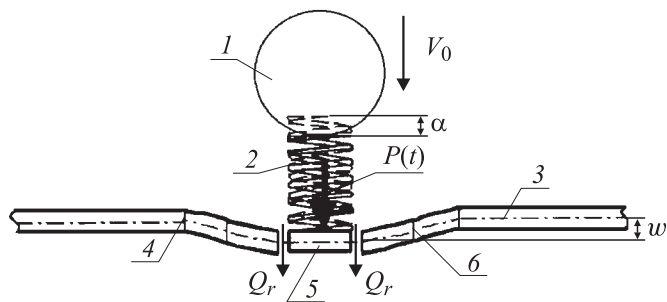


Рис. 1. Схема ударного взаимодействия твердого тела и буфера, установленного на пластинке: 1 — ударник, 2 — буфер, 3 — пластина, 4 — фронт квазипродольной волны, 5 — контактная область, 6 — фронт квазипоперечной волны.

перпендикулярна пластинке (рис. 1). Поведение пружины, которая не теряет устойчивости при деформации, подчиняется закону Гука.

Динамическое поведение круглой упругой ортотропной пластинки Уфлянда–Миндлина, обладающей цилиндрической анизотропией, в полярной системе координат описывается уравнениями, которые были получены из уравнений, приведенных в [5], путем учета инерции вращения поперечных сечений и деформации поперечного сдвига. Для рассматриваемой осесимметричной задачи, волновые характеристики не зависят от угла φ и определяющие уравнения принимают вид:

$$D_r \left(\frac{\partial^2 \varphi}{\partial r^2} + \frac{1}{r} \frac{\partial \varphi}{\partial r} \right) - D_\theta \frac{\varphi}{r^2} + hKG_{rz} \left(\frac{\partial w}{\partial r} - \varphi \right) = -\rho \frac{h^3}{12} \frac{\partial^2 \varphi}{\partial t^2}, \quad (1)$$

$$KG_{rz} \left(\frac{\partial^2 w}{\partial r^2} - \frac{\partial \varphi}{\partial r} \right) + KG_{rz} \frac{1}{r} \left(\frac{\partial w}{\partial r} - \varphi \right) = \rho \frac{\partial^2 w}{\partial t^2}, \quad (2)$$

где $D_r = B_r h^3 / 12$, $D_\theta = B_\theta h^3 / 12$, $B_r = E_r / (1 - \sigma_r \sigma_\theta)$, $B_\theta = E_\theta / (1 - \sigma_r \sigma_\theta)$, $E_r \sigma_r = E_\theta \sigma_\theta$, $K = 5/6$, D_r , D_θ — жесткости изгиба для направлений r , θ ; E_r , E_θ и σ_r , σ_θ — модуль упругости и коэффициент Пуассона для направлений r , θ ; G_{rz} — модуль сдвига в плоскости rz ; $w(r, \theta)$ — нормальное перемещение срединной плоскости; $\varphi(r, \theta)$ — произвольная искомая функция координат r , θ ; ρ — плотность; h — толщина пластинки, t — время.

3. Метод решения. Предположим, что в результате поперечного удара по пластинке в ней зарождаются продольные и сдвиговые волны (рис. 1), фронты которых являются поверхностями сильного разрыва и расширяются с нормальными скоростями $G^{(\alpha)}$ (индекс α принимает значение 1 и 2 и означает номер волны).

Некоторая искомая функция $Z(x_\alpha, t)$ за фронтом волновой поверхности Σ представляется в виде лучевого ряда

$$Z(r, t) = \sum_{k=0}^{\infty} \frac{1}{k!} [Z, (k)]_{t=r/G} \left(t - \frac{r-r_0}{G}\right)^k H\left(t - \frac{r-r_0}{G}\right), \quad (3)$$

где $[Z, (k)] = Z^+, (k) - Z^-, (k) = [\partial^k Z / \partial t^k]$; $Z, (k)$ — скачки производных k -го порядка по времени t от искомой функции Z на волновой поверхности Σ , т.е. при $t = (r - r_0)/G^{(\alpha)}$, r_0 — начальный радиус, верхние индексы „+“ и „-“ означают, что величина вычисляется непосредственно перед и за волновым фронтом соответственно, $H(t)$ — единичная функция Хевисайда, r — длина дуги, отсчитываемая вдоль луча.

Для определения коэффициентов лучевого ряда (3) необходимо продифференцировать определяющие уравнения (1), (2) для пластинки k раз по времени, взять их разность на различных сторонах волновой поверхности Σ и применить условие совместности для скачков $k + 1$ -го порядка от функции Z по времени t [3]

$$G \left[\frac{\partial Z, (k)}{\partial r} \right] = -[Z, (k+1)] + \frac{\delta[Z, (k)]}{\delta t}, \quad (4)$$

где $\delta/\delta t$ — δ -производная по времени.

В результате из уравнений движения (1), (2) для определения скачков искомых величин с точностью до произвольных констант получаем систему рекуррентных дифференциальных уравнений:

$$\left(1 - \frac{\rho G^2}{B_r}\right) \omega_{\varphi(k+1)} = 2 \frac{\delta \omega_{\varphi(k)}}{\delta t} + Gr^{-1} \omega_{\varphi(k)} + b_r G X_{w(k)} + F_{\varphi(k-1)}, \quad (5)$$

$$\left(1 - \frac{\rho G^2}{KG_{rz}}\right) X_{w(k+1)} = 2 \frac{\delta X_{w(k)}}{\delta t} + Gr^{-1} X_{w(k)} - G \omega_{\varphi(k)} + F_{w(k-1)}, \quad (6)$$

где $X_{w^{(k)}} = [w, {}_{(k+1)}]$, $w_{\varphi^{(k)}} = [\varphi, {}_{(k+1)}]$, $b_r = hKG_{rz}D_r^{-1}$, $r = r_0 + Gt$,

$$F_{\varphi^{(k-1)}} = -\frac{\delta^2 \omega_{\varphi^{(k-1)}}}{\delta t^2} - Gr^{-1} \frac{\delta \omega_{\varphi^{(k-1)}}}{\delta t} + G^2 r^{-2} \frac{E_\theta}{E_r} \omega_{\varphi^{(k-1)}} - b_r G \frac{\delta X_{w^{(k-1)}}}{\delta t} + b_r G^2 \omega_{\varphi^{(k-1)}},$$

$$F_{w^{(k-1)}} = -\frac{\delta^2 X_{w^{(k-1)}}}{\delta t^2} - Gr^{-1} \frac{\delta X_{w^{(k-1)}}}{\delta t} + G \frac{\delta \omega_{\varphi^{(k-1)}}}{\delta t} + G^2 r^{-1} \omega_{\varphi^{(k-1)}}.$$

Полагая в (5) и (6) $k = -1, 0, 1, 2, 3$, получим скачки соответствующего порядка на первой и второй волнах, позволяющие записать искомые функции W и Q_r в виде отрезков лучевых рядов с точностью до постоянных интегрирования:

$$W \cong \sum_{\alpha=1}^2 \sum_{k=0}^4 \frac{1}{k!} X_{w^{(k)}}^{(\alpha)} (y_\alpha)^k H(y_\alpha), \quad (7)$$

$$Q_r \cong KG_{rz} h$$

$$\times \sum_{\alpha=1}^2 \sum_{k=0}^4 \frac{1}{k!} \left(-X_{w^{(k)}}^{(\alpha)} G^{(\alpha-1)} + \frac{\delta X_{w^{(k-1)}}^{(\alpha)}}{\delta t} G^{(\alpha-1)} - \omega_{\varphi^{(k-1)}}^{(\alpha)} \right) (y_\alpha)^k H(y_\alpha), \quad (8)$$

где $y_\alpha = t - (r - r_0)G^{(\alpha-1)}$, величины $X_{w^{(k)}}^{(\alpha)}$, $\omega_{\varphi^{(k)}}^{(\alpha)}$ и их δ -производные подсчитываются при $y_\alpha = 0$.

4. Система уравнений, описывающих взаимодействие. Процесс взаимодействия твердого тела с буфером и пластинкой описывается следующими уравнениями:

$$m\ddot{y} = -P(t), \quad \rho h \pi r_0^2 \ddot{w} = 2\pi r_0 Q_r + P(t). \quad (9)$$

Здесь $y = \alpha + w$ — полное перемещение ударника (рис. 1), $P(t) = E_1(\alpha - w)$ — контактная сила, где E_1 — коэффициент жесткости пружины.

Подставляя величины y и $P(t)$ в уравнения (9) и учитывая условие горизонтальности касательной к срединной поверхности плиты в граничных точках области контакта [3,4], приходим к системе уравнений,

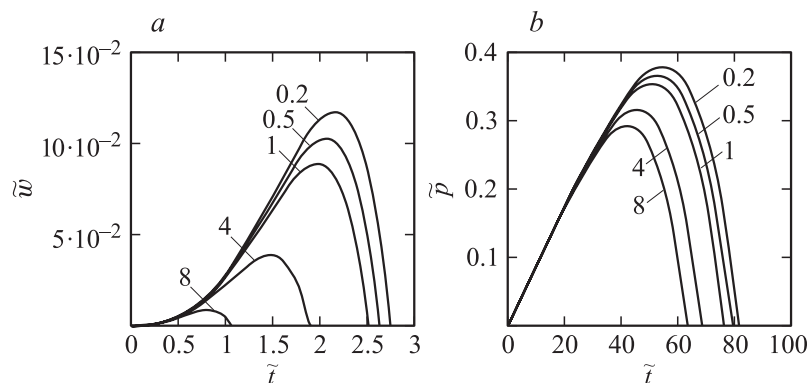


Рис. 2. Зависимости от времени для различных значений соотношения E_θ/E_r : a — динамического прогиба, b — контактной силы.

которая определяет процесс взаимодействия ударника, буфера и плиты. Для ее решения представим функции, входящие в нее, в виде степенных рядов по времени t . Подставляя соотношения (7) и (8), записанные на границах области контакта, т.е. при $r = r_0$, и степенной ряд по времени t для α в систему уравнений (9) и приравнивая коэффициенты в системе трех алгебраических уравнений для определения трех неизвестных констант ($j = 0, 1, 2$) и α_i ($i = 0, 1, 2, 3, 4$). После определения постоянных интегрирования можно записать динамический прогиб и контактную силу в виде отрезков степенных рядов с известными коэффициентами при t .

Для иллюстрации полученных результатов рассмотрен численный пример и исследована зависимость динамического прогиба и контактной силы от ортотропных свойств пластинки. На рис. 2 приведены зависимости динамического прогиба (рис. 2, a) и контактной силы (рис. 2, b) от времени для различных значений соотношения E_θ/E_r , которые указаны цифрами у кривых. На рис. 2 видно, что при уменьшении соотношения E_θ/E_r происходит увеличение прогиба и контактной силы до некоторого значения при $E_\theta/E_r \ll 1$, при увеличении этого соотношения происходит уменьшение прогиба и силы. Таким образом, видно, что анизотропия в плоскости пластинки значительно влияет на динамические характеристики контактного взаимодействия.

Список литературы

- [1] Уфлянд Я.С. // Прикладная механика. 1948. Т. 12. С. 287–300.
- [2] Mindlin R.D. // Quart. Appl. Math. 1961. V. 19. P. 51–61.
- [3] Rossikhin Yu.A., Shitikova M.V. // Acta Mechanica. 1994. V. 102. N 1–4. P. 103–121.
- [4] Россихин Ю.А., Шитикова М.В., Локтев А.А. // Изв. вузов. Строительство. 2004. № 11. С. 16–22.
- [5] Амбарцумян С.А. Теория анизотропных пластин. М.: Наука, 1987. 360 с.